

بررسی برهمکنش‌های بین نانوذرات رس و آمیزه پلی بوتیلن ترفتالات / پلی‌پروپیلن

آرمن حاجی‌بابا^۱، محمود معصومی^{۲*}، حسین نازک دست^۳

۱- دانشجوی دکتری مهندسی پلیمر، دانشگاه صنعتی اصفهان

۲- استادیار مهندسی پلیمر، دانشگاه صنعتی اصفهان

۳- استاد مهندسی پلیمر، دانشگاه صنعتی امیرکبیر

تاریخ دریافت: ۹۴/۰۷/۲۱ تاریخ پذیرش: ۹۴/۰۱/۲۴

پیامنگار: mmasoomi@cc.iut.ac.ir

چکیده

هدف از این تحقیق، بررسی برقراری برهمکنش بین نانوذرات رس با اصلاح‌کننده آب‌دوسست و آمیزه بسپاری پلی بوتیلن ترفتالات / پلی‌پروپیلن است. از این‌رو نانوکامپوزیت‌های شامل ۱، ۳ و ۵ جزء نانورس در ۱۰۰ جزء بسپار، به روش اختلاط منابع تهیه شدند. به‌منظور بررسی برقراری برهمکنش در این نانوکامپوزیت‌ها، از طیف‌سنجدی فروسرخ، آنالیز پراش پرتو ایکس و آزمون‌های رئولوژیکی بهره گرفته شد. نتایج آنالیز پراش پرتو ایکس حاکی از ایجاد ساختار جایگذاری شده از نانوذرات رس در آمیزه پلی بوتیلن ترفتالات / پلی‌پروپیلن است. آزمون‌های رئولوژیکی به همراه مدل د^کی^۱ نشان دادند که نانوکامپوزیت‌های شامل ۳ و ۵ جزء نانورس در ۱۰۰ جزء بسپار، به دلیل ایجاد شبکه فیزیکی نانوذرات رس، تنفس تسلیم بروز می‌دهند. وجود تنفس تسلیم در این نانوکامپوزیت‌ها حاکی از ایجاد برهمکنش‌های نانورس-نانورس و بسپار-نانورس است. بنابر نتایج مدل د^کی، نانوکامپوزیت شامل ۵ قسمت وزنی نانورس نسبت به نانوکامپوزیت‌های دیگر، تنفس تسلیم بیشتری بروز می‌دهد؛ به این ترتیب معلوم می‌شود که شدت برهمکنش‌ها در این نانوکامپوزیت بیشتر و قوی‌تر است. همچنین، طیف‌سنجدی فروسرخ، وجود برهمکنش بین گروه هیدروکسیل موجود در اصلاح‌کننده نانورس و گروه‌های هیدروکسیل و کربوکسیل پلی بوتیلن ترفتالات را به انبات رسانید.

کلیدواژه‌ها: رئولوژی، آمیزه پلی بوتیلن ترفتالات / پلی‌پروپیلن، نانورس، مدل د^کی

۱. مقدمه

ناشی از بهای ارزان، چگالی کم و دمای واپیچش گرمایی^۲ (HDT) بالای آن است [۱]. مقاومت در برابر کشش، چگالی کم، بی‌رنگی، سختی، مقاومت در برابر اسید، باز و حلال‌ها، از جمله خواص پلی‌پروپیلن به شمار می‌آیند. اما در ارتباط با خواص فیزیکی و

پلی‌پروپیلن یکی از مهمترین انواع ترمومولاستیک‌هایی است که در صنایع فرایندی مصرف می‌شود. افزایش روزافزون اهمیت این بسپار

2. Heat Distortion Temperature

* اصفهان، دانشگاه صنعتی اصفهان، دانشکده مهندسی شیمی (گروه پلیمر)
1. De Kee

که صفحات نانورس 30B سبب ایجاد ساختار جایگذاری شده^۳ در پلی بوتیلن ترفتالات می‌شوند. آنها همچنین به کمک آزمون‌های رئولوژیکی نشان دادند که صفحات نانورس 30B Cloisite سبب ایجاد شبکه فیزیکی سه بعدی در پلی بوتیلن ترفتالات می‌شوند. در سال ۲۰۰۵، Zhou^۴ و همکارانش^[۳] با مطالعه روی رفتار رئولوژیکی نانوکامپوزیت پلی بوتیلن ترفتالات/نانورس نشان دادند که کاربرد نانوذرات رس سبب کاهش ناچیه نیوتونی این نانوکامپوزیت می‌شود، به گونه‌ای که در ۸٪ وزنی از نانوذرات رس، ناچیه ویسکوالاستیک (ویسکوکشان) خطی به دامنه کرنش‌های زیر ۱٪ منتقل می‌شود. در این تحقیق، معلوم شد که رفتار ویسکوالاستیک نانوکامپوزیت‌های شامل ۱٪ و ۲٪ وزنی از نانورس در بسامدهای پایین شبه پلی بوتیلن ترفتالات تقویت‌نشده است؛ اما، با افزایش غلظت نانورس‌ها از ۴٪ به ۸٪ وزنی، رفتار رئولوژیکی نانوکامپوزیت‌های حاصل، از حالت شبه مایع به شبه جامد تغییر پیدا می‌کند. این تغییر رفتار رئولوژیکی پیامد تشکیل شبکه فیزیکی سه بعدی از نانوذرات رس است. ایجاد ساختارهای جایگذاری شده و ورقه‌ای شده^۵، و نیز تشکیل شبکه فیزیکی سه بعدی از نانوذرات رس در بسپارها و آمیزه‌های بسپاری، سبب بهبود چشمگیر خواص مکانیکی، ایجاد مقاومت گرمایی بالا، کاهش عبورپذیری گازی و کاهش آتشگیری می‌شود^[۱۶-۱۲].

از آنجا که خواص برجسته مکانیکی، عبورپذیری گازی و پایداری گرمایی در اثر پخش یکنواخت نانوذرات رس در ماتریس بسپاری و ایجاد برهمکنش‌های فازی به وجود می‌آید، در این تحقیق به صورت عمیقتر، ایجاد برهمکنش‌های بین آمیزه پلی بوتیلن ترفتالات/پلی‌پروپیلن و نانوذرات رس مطالعه خواهد شد.

۲. تجربیات

۲.۱ مواد

در این پژوهش، از پلی بوتیلن ترفتالات با علامت تجاری PB-NL70^۶ چگالی 1.33 g/cm^3 و دمای ذوب 225°C ساخت شرکت Eurotec^۷ به عنوان فاز ماتریس، پلی‌پروپیلن جوربسپار با علامت تجاری V30S، چگالی 0.9 g/cm^3 ، شاخص جریان مذاب 16 g/10min و دمای واپیچش گرمایی 95°C ساخت پتروشیمی

شیمیابی این بسپار کاستی‌هایی هم وجود دارد که کاربرد آن را محدود می‌کنند. پلی بوتیلن ترفتالات جزء بسپارهای مهندسی نیمه بلورین طبقه‌بندی می‌شود که خواص مکانیکی نسبتاً خوبی روز می‌دهد^[۲]. از کاربردهای این ترموبلاستیک مهندسی که جزء خانواده پلی‌استرها رده‌بندی می‌شود، می‌توان به کاربرد آن در عایق‌کننده‌ها، تارهای نوری، صنایع الکتریکی و الکترونیکی اشاره کرد. از مزایای این بسپار می‌توان به مقاومت آن در برابر حلal‌ها، جمع‌شدگی^۸ پایین طی شکل‌دهی، ضربه‌پذیری بالا، مقاومت الکتریکی مطلوب و مقاومت گرمایی بالا تا 150°C اشاره کرد. البته، پلی بوتیلن ترفتالات در مقایسه با پلی‌استرها دیگر نظر پلی‌اتیلن ترفتالات استحکام و صلابت کمتر و دمای انتقال شیشه‌ای کمتری هم دارد.

آمیزه‌سازی بسپارها یکی از روش‌های رایج و کاربردی به منظور رسیدن به موادی با خواص مطلوب است. آمیزه‌سازی پلی‌لفین‌ها با بسپارهای مهندسی، یکی از راه‌های بهبود خواص مکانیکی این بسپارها به شمار می‌آید^[۱]. در این میان، افزودن پلی‌پروپیلن به پلی بوتیلن ترفتالات نیز سبب بهبود خواص مکانیکی این بسپار مهندسی می‌شود. همچنین، پلی‌پروپیلن از طریق سازوکار هسته‌گذاری نایکنواخت به شتاب تبلور پلی بوتیلن ترفتالات می‌انجامد که این موضوع سبب افزایش سفتی آمیزه نهایی خواهد شد^[۴]. به علاوه، ماهیت آب‌گریز پلی‌پروپیلن باعث کاهش حساسیت به رطوبت پلی بوتیلن ترفتالات می‌شود^[۴].

در سال‌های اخیر، نانوکامپوزیت‌های بسپار-لایه‌های سیلیکاتی به دلیل خواص منحصر به فرد، توجه بخششای صنعتی و آزمایشگاهی زیادی را به خود جلب کرده است^[۷-۵]. اخیراً، دانشمندان زیادی روی خواص نانوکامپوزیت‌های حاوی نانورس به تحقیق و بررسی پرداخته‌اند^[۸-۱۰]. نتایج تحقیقات این دانشمندان نشان می‌دهد که صفحات نانورس معمولاً با قرارگیری در فاز قطبی یا فصل مشترک و ایفای نقش سازگارسازی، سبب کاهش اندازه قطرات فاز پراکنده می‌شوند^[۷]. در این گونه آمیزه‌های بسپاری، معمولاً فاز پیوسته قطبی و فاز پراکنده غیرقطبی است. Li^۹ و همکارانش^[۱۱] در سال ۲۰۰۱ با مطالعه روی رفتار و خواص نانوکامپوزیت پلی بوتیلن ترفتالات تقویت‌شده با نانورس‌های مختلف نشان دادند

3. Intercalation

4. Zhou

5. Exfoliation

1. Shrinkage

2. Li

Marun، به عنوان فاز پراکنده و نانورس Cloisite 30B با ظرفیت تبادل یونی $g/100\text{mequiv}$ ۹۰ ساخت شرکت Southern Clay Amerika استفاده شده است. نانوذراترس 30B دارای اصلاح کننده متیل ۲-بیس هیدروکسی اتیل تالو آمونیم اند. ساختار این اصلاح کننده، حاوی دو گروه هیدروکسیل (OH) است. به منظور جلوگیری از تخریب حرارتی، از پودر 1010 Irganox به عنوان آنتی اکسیدان ساخت شرکت Ciba، استفاده شده است.

۲. روش تهیه

به منظور تهیه نمونه مرجع، ابتدا پلی بوتیلن ترفتالات و پلی پروپیلن به صورت کاملاً خشک با یکدیگر مخلوط شدند. سپس مخلوط آنها (به نسبت وزنی $PBT/PP = ۸۰/۲۰$) در مخلوط کن داخلی برابر (Mdl W50) در دمای ۲۴۵°C و سرعت گردندۀ ۶۰ rpm به مدت ۶ دقیقه تحت اختلاط مذاب قرار گرفتند. برای تهیه نانوکامپوزیت‌های حاوی ۱، ۳ و ۵ قسمت از نانوذراترس در ۱۰۰°C قسمت بسپار (phr)، پس از ۶ دقیقه اختلاط پلی بوتیلن ترفتالات و پلی پروپیلن، این نانوذرات به محافظه اختلاط اضافه شده و فرایند اختلاط مذاب تا دقیقه ۱۵ ادامه می‌یابد. همچنین، به منظور تهیه نانوکامپوزیت‌های پلی بوتیلن ترفتالات/نانورس و پلی پروپیلن/نانورس، جزء بسپاری و نانوذراترس در دمای ۲۴۵°C و سرعت گردندۀ ۶۰ rpm به مدت ۱۰ دقیقه تحت اختلاط مذاب قرار گرفتند. باید گفت که ابتدا تمام اجزا به مدت ۲۴ ساعت در آون تحت دمای ۸۰°C قرار گرفتند (برای حذف رطوبت). رمزگذاری و فرمولبندی نمونه‌های مختلف در جدول (۱) درج شده‌اند.

جدول ۱. رمزگذاری و فرمولبندی نمونه‌های مختلف.

کد نمونه‌ها	پلی بوتیلن ترفتالات (٪ وزنی)	پلی پروپیلن (٪ وزنی)	نانورس (phr)
B30B5	۱۰۰	.	۵
P30B5	.	۱۰۰	۵
BP	۸۰	۲۰	.
BP30B1	۸۰	۲۰	۱
BP30B3	۸۰	۲۰	۳
BP30B5	۸۰	۲۰	۵

۳. نتایج و بحث

۱. آنالیز پراش پرتو ایکس

در شکل (۱)، نتایج ناشی از آزمون پراش پرتو ایکس برای نانورس Cloisite 30B و نانوکامپوزیت‌های حاوی مقادیر مختلف از این نانوذره را مشاهده می‌کنید. همان‌طور که مشاهده می‌شود، پیک

1. X-Ray Diffraction
2. Bragg

محدوده $2\theta < 7/2 < 5/3$ ، احتمالاً به دلیل تخریب حرارتی بخشی از گروههای آلکیل‌آمونیم ذرات نانورس در دمای بالاست [۱۶]. در جدول (۲)، زوایای پیک مشخصه و فاصله بین لایه‌ای نانورس Cloisite 30B در حالت خالص و نانوکامپوزیت‌ها را درج کرده‌ایم.

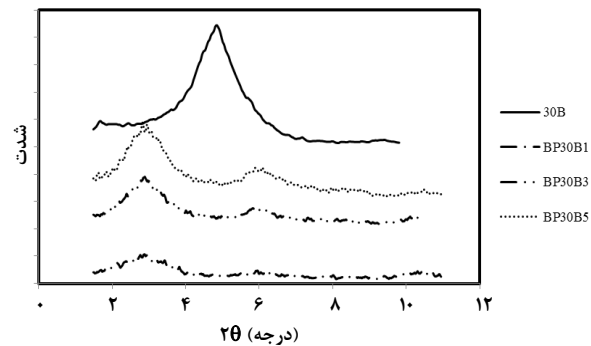
جدول ۲. نتایج آنالیز پراش پرتو ایکس برای نانورس Cloisite 30B در حالت خالص و در نانوکامپوزیت‌ها.

پیک دوم			پیک اول			
ارتفاع (a.u)	فاصله بین لایه‌ای (A)	2θ	ارتفاع (a.u)	فاصله بین لایه‌ای (A)	2θ	نمونه
-	-	-	۲۹۴/۸۶	۲۱/۲۸	۴/۸۵	Cloisite 30B
۱۲/۶۲	۱۶/۹۲	۶/۰۵	۵۶/۹۶	۳۵/۵۶	۲/۸۸	BP30B1
۳۱/۵۶	۱۷/۰۸	۶/۰۰	۱۳۷/۳۴	۳۵/۵۶	۲/۸۸	BP30B3
۵۴/۶۳	۱۶/۸۷	۶/۰۷	۱۸۴/۲۶	۳۵/۲۸	۲/۹۰	BP30B5

حال که ایجاد ساختارهای میان لایه‌ای شده و جزئی ورقه‌ای شده از نانوذرات رس Cloisite 30B در آمیزه پلی بوتیلن ترفتالات/ پلی پروپیلن مشخص شد، به بررسی برهمکنش‌های بین نانوذرات رس Cloisite 30B با هر یک از فازهای پلی بوتیلن ترفتالات و پلی پروپیلن خواهیم پرداخت. در شکل (۲)، نمودار آنالیز پراش پرتو ایکس برای نانوکامپوزیت‌های پلی بوتیلن ترفتالات/ نانورس (نمونه BP30B5) و پلی پروپیلن/ نانورس (نمونه P30B5) را مشاهده می‌کنید.

در شکل (۲)، بارز است که زاویه پیک مشخصه نانورس Cloisite 30B در نانوکامپوزیت پلی بوتیلن ترفتالات/ نانورس به زاویه $2/45^\circ$ کاهش یافته است. از اینجا پی می‌بریم که فاصله بین صفحات نانورس Cloisite 30B از $21/19 \text{ \AA}$ به $42/38 \text{ \AA}$ افزایش یافته است. این مقدار افزایش فاصله بین لایه‌های نانورس Cloisite 30B در نانوکامپوزیت BP30B5 هم بیشتر است. بنابراین، زنجیرهای پلی بوتیلن ترفتالات بین لایه‌های نانورس قرار می‌گیرد و به ایجاد ساختار میان لایه‌ای شده انجامیده است. از سوی دیگر،

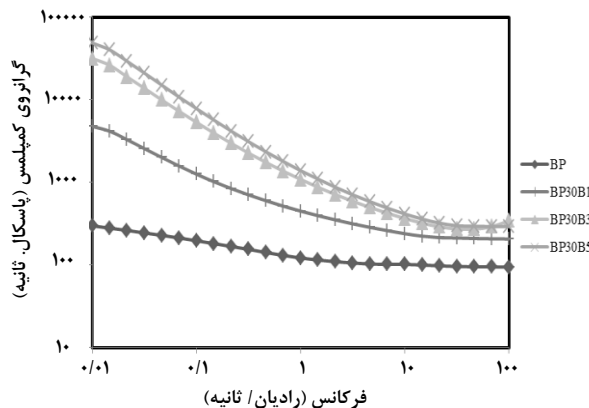
مشخصه نانوذرات رس Cloisite 30B در زاویه $2\theta = 4/85$ درجه، رخ داده که بنابر قانون برگ، فاصله بین صفحات در این نانورس $21/28$ است. بنابر نتایج حاصل از این آزمون، در نانوکامپوزیت پلی بوتیلن ترفتالات/ پلی پروپیلن حاوی مقادیر مختلف نانورس Cloisite 30B، این پیک مشخصه به زوایای کمتر انتقال یافته است. این موضوع حاکی از افزایش فاصله بین لایه‌ای نانوذرات رس از $35/56 \text{ \AA}$ به $21/28 \text{ \AA}$ در حین اختلاط مذاب است. این نتیجه، بیانگر ایجاد ساختار میان لایه‌ای شده از زنجیرهای پلی بوتیلن ترفتالات درون فاصله بین لایه‌ها است. ماهیت قطبی پلی بوتیلن ترفتالات نسبت به پلی پروپیلن، باعث گرایش بیشتر این بسپار به نانورس با اصلاح کننده آب دوست Cloisite 30B است و سبب میان لایه‌ای شدن زنجیرهای این بسپار داخل فضای بین لایه‌ای نانورس 30B می‌شود [۱۷ و ۱۸].



شکل ۱. نتایج حاصل از آنالیز پراش پرتو ایکس برای نمونه 30B و نانوکامپوزیت‌های حاوی ۱، ۳ و ۵ از phr نانوذرات رس.

نکته قابل توجه دیگر، عبارت است از کاهش شدت پیک مشخصه نانورس Cloisite 30B در نانوکامپوزیت‌ها، نسبت به پودر خالص نانوذرات رس. این موضوع حاکی از ایجاد ساختار جزئی ورقه‌ای از نانوذرات رس در آمیزه به دست آمده است [۱۹]. کاهش شدت پیک مشخصه نشان می‌دهد که ایجاد ساختار جزئی ورقه‌ای در نانوکامپوزیت حاوی ۱ از نانورس Cloisite 30B بیشتر از سایر نمونه‌های است. علت آن است که غلظت بسیار پایین نانوذرات رس در این نمونه، سبب پخش کاتورمایی^۳ بهتر این نانوذرات در ماتریس بسپاری شده است. پیک دوم مشاهده شده برای نانوکامپوزیت‌ها در

1. Partially Exfoliation
2. Randomly



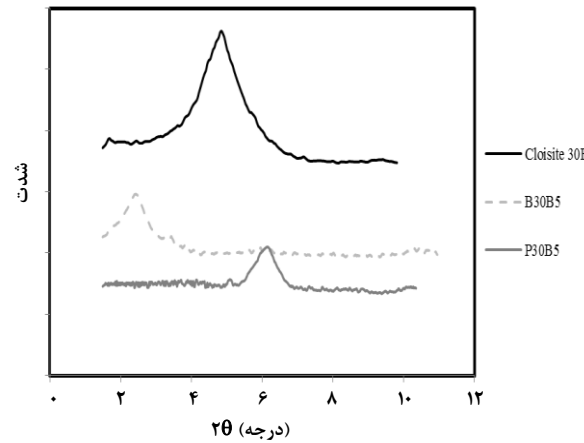
شکل ۳. رابطه بین گرانروی و بسامد برای نمونه‌های مختلف.

در سال ۱۹۸۰، دکی^۲ و ترکوت^۳ [۲۰] یک مدل سه پارامتری به منظور برقراری رابطه بین گرانروی و بسامد برای سیستم‌های شامل تنش تسليم ارائه کردند (معادله (۲)).

$$\eta = \tau_0 \omega^{-1} + \eta_1 e^{-t_1 \omega} \quad (2)$$

در این معادله، τ_0 تنش تسليم است که به شکست شبکه جامد^۴ از نانوذرات مرتبط می‌شود. همچنین، η_1 گرانروی در سرعت برش صفر سیستم در هنگامی است که شبکه جامد از نانوذرات وجود ندارد؛ و t_1 نیز زمان مشخصه‌ای است که به سرعت قطرات در بسامدهای بالا بستگی دارد. در واقع، این معادله وجود تنش تسليم در نانوکامپوزیت‌های بسپاری را نشان می‌دهد که ناشی از ایجاد شبکه فیزیکی سه بعدی نانوذرات است. هرچه برهمنشی بین نانوذرات و ماتریس بسپاری بیشتر و پخش آنها در پلیمر یکنواخت‌تر باشد، شبکه فیزیکی متشكل از نانوذرات قوی‌تر و تنش تسليم بیشتر است. در شکل (۴) (الف-ت) مقایسه نتایج تجربی گرانروی با مدل دکی برای آمیزه خالص و نانوکامپوزیت‌های حاوی مقادیر مختلف نانوذرات‌رس Cloisite 30B را مشاهده می‌کنید. از این مدل به منظور وجود تنش تسليم و شبکه فیزیکی نانوذرات در نانوکامپوزیت‌ها و میزان قدرت آن بهره گرفته شده است.

پیک مشخصه نانورس 30B Cloisite در نانوکامپوزیت پلی‌پروپیلن/نانورس از زاویه $4/85^\circ$ به زاویه $6/15^\circ$ افزایش یافته است. از اینجا پی می‌بریم که فاصله بین صفحات نانورس Cloisite 30B از $21/19 \text{ \AA}$ به $16/63 \text{ \AA}$ کاهش یافته است. بنابراین، نتیجه می‌گیریم که زنجیرهای پلی‌پروپیلن قادر به ایجاد ساختار میان لایه‌ای شده در بین صفحات نانورس Cloisite 30B نیستند. از اینجا تأیید می‌شود که نانوذرات‌رس Cloisite 30B گرایش بیشتری به فاز پلی بوتیلن ترفتالات نسبت به پلی‌پروپیلن دارد.



شکل ۲. آنالیز پراش پرتو ایکس نانوکامپوزیت‌های پلی بوتیلن ترفتالات/Cloisite 30B و پلی‌پروپیلن/Cloisite 30B.

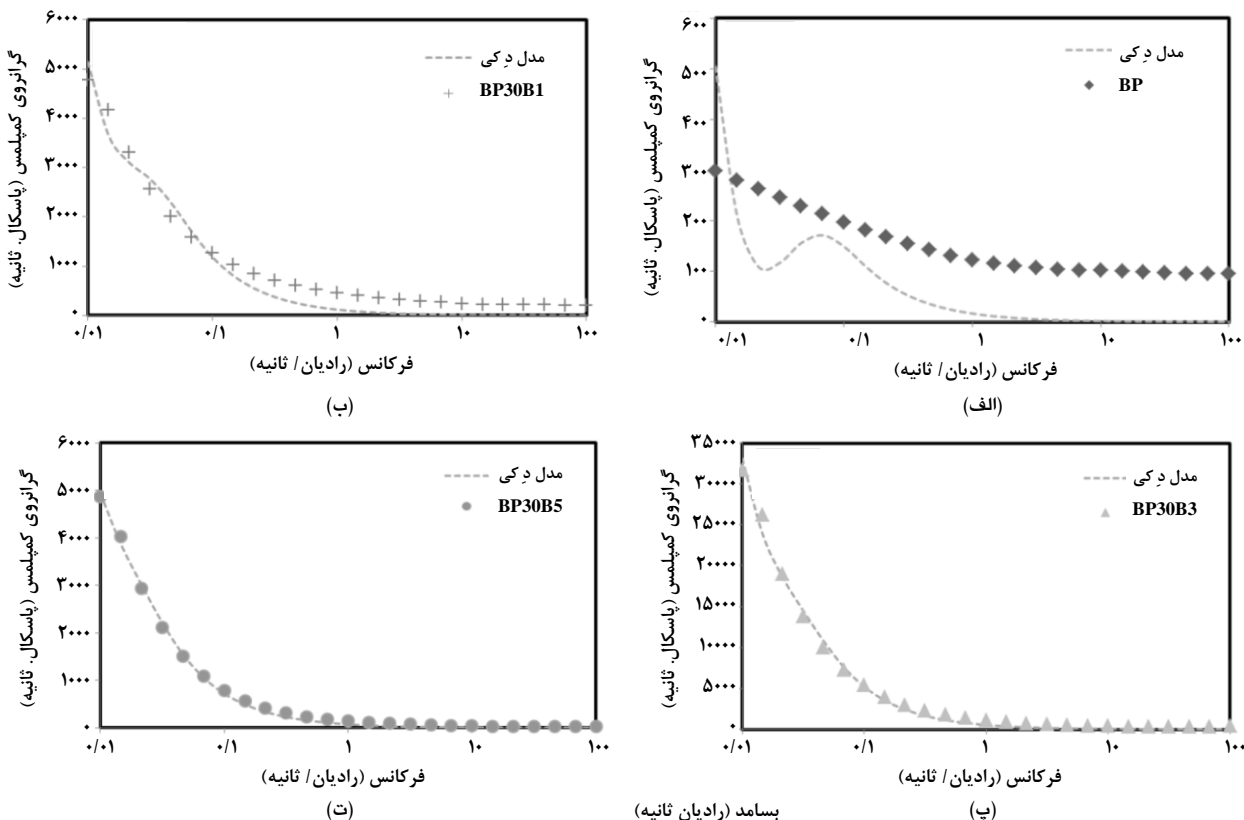
۲.۳ بررسی رفتار رئولوژیکی

به منظور مطالعه اثر نانوذرات‌رس بر رفتار رئولوژیکی آمیزه پلی‌بوتیلن ترفتالات/پلی‌پروپیلن از نمودار گرانروی نسبت به بسامد استفاده شده است (شکل (۳)). در شکل (۳)، با افزایش غلظت نانوذرات‌رس گرانروی آمیزه پلی‌بوتیلن ترفتالات/پلی‌پروپیلن افزایش یافته است. نیز ملاحظه می‌شود که با افزایش غلظت نانوذرات‌رس، رفتار شبه-پلاستیک^۱ نسبت به آمیزه خالص پلی‌بوتیلن ترفتالات/پلی‌پروپیلن بیشتر شده است. این موضوع می‌تواند بیانگر برقراری برهمنشی بین نانوذرات‌رس و آمیزه پلی‌بوتیلن ترفتالات/پلی‌پروپیلن است.

2. De Kee
3. Turcotte
4. Solid Network

1. Pseudo-Plastic

بررسی بر هم کنش های بین نانوذرات رس و آمیزه پلی بوتیلن ترفتالات...



شکل ۴. مدل سازی نتایج تجربی گرانزوی با مدل دیگری (الف) آمیزه خالص،
 (ب) نانوکامپوزیت BP30B1، (پ) (ت) (پ) نانوکامپوزیت BP30B3

اطمینان تر است. با افزایش غلظت این نانوذره از ۳ phr به ۵ phr شدت تنفس تسلیم افزایش می‌یابد که حاکی از قوی‌تر شدن برهم‌کنش‌ها در این نانوکامپوزیت است.

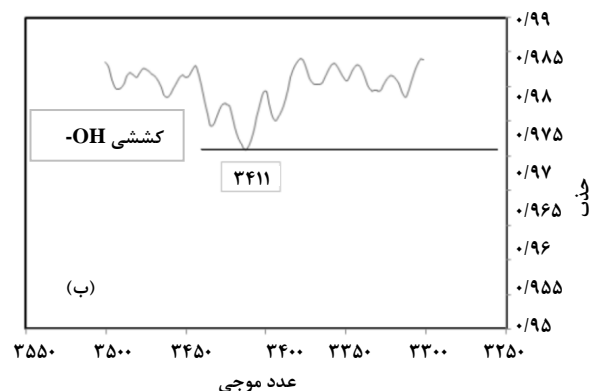
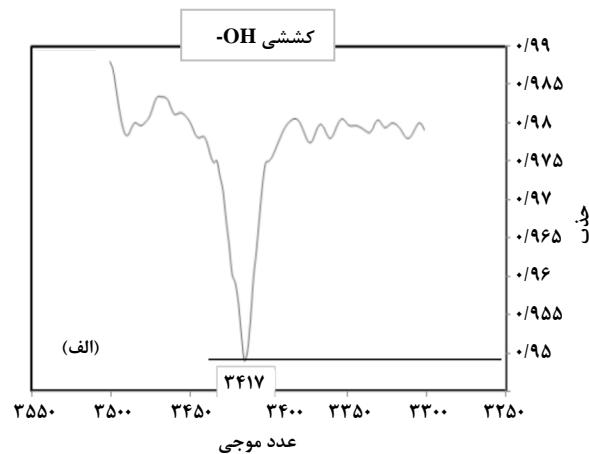
جدول ۳. پارامترهای حاصل از مدل دیگری
 برای نمونه‌های مختلف.

R ²	t ₁	η_1	τ_0	کد نمونه‌ها
۰/۹۹۸	۱۶۶	۱۱۹۰۱۱/۹	۷۲۰/۴۶	BP30B5
۰/۹۹۳	۱۰۵	۵۴۰۳۹/۳	۵۲۰/۶۶	BP30B3
۰/۹۵۳	۸۹	۱۶۳۲۹/۸	۱۱۸/۵۰	BP30B1
-	۴۸	۱۸۳۴/۶	۱۶/۴۰	BP

نتایج مدل‌سازی‌ها حاکی از آنند که آمیزه غیرقابل امتزاج پلی بوتیلن ترفتالات / پلی‌پروپیلن به دلیل فقدان تنفس تسلیم، هیچ‌گونه انطباقی با مدل دیگری نمی‌دهد. از سوی دیگر، نانوکامپوزیت شامل ۱ نانورس 30B phr (نمونه 1 Cloisite 30B) نیز تطابق چندان خوبی با این مدل بروز نمی‌دهند. بنابراین، به نظر می‌رسد در این نانوکامپوزیت‌ها نیز تنفس تسلیم و شبکه فیزیکی سه بعدی از نانوذرات رس مشاهده نمی‌شود. اما نانوکامپوزیت‌های شامل ۳ و ۵ نانورس 30B phr (نمونه‌های BP30B3 و BP30B5) با مدل دیگری تطابق خوبی نشان می‌دهد. این موضوع، وجود تنفس تسلیم حاصل از ایجاد شبکه فیزیکی سه بعدی از این نانوذرات در آمیزه پلی بوتیلن ترفتالات / پلی‌پروپیلن را نشان می‌دهد. در جدول (۳) پارامترهای حاصل از مدل دیگری برای نمونه‌های مختلف را درج کرده‌ایم. مشخص است که نمونه‌های شامل ۳ و ۵ نانورس 30B phr ضریب تصحیح (R^2) بسیار بالایی دارند. بنابراین، وجود تنفس تسلیم در این نانوکامپوزیت‌ها قابل

بین نانوذراترس Cloisite 30B و پلی بوتیلن ترفتالات، نمودار طیف‌سنجی فروسرخ در اعداد موجی یاد شده، مورد توجه و بررسی بیشتر قرار خواهد گرفت.

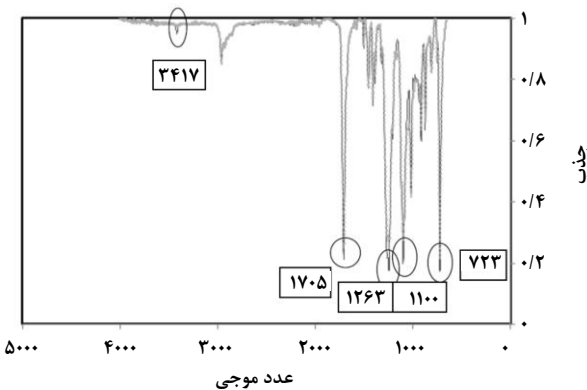
شکل (۶)-الف و ب) نمودار طیف‌سنجی فروسرخ برای پلی بوتیلن ترفتالات و نانوکامپوزیت پلی بوتیلن ترفتالات/ نانورس 30B در عدد موجی بین 3300 cm^{-1} تا 3500 cm^{-1} را مشاهده می‌کنید. همان‌طور که بیان کردیم، پیک واقع شده در عدد موجی 3417 cm^{-1} مربوط به گروه هیدروکسیل (-OH) کششی در پلی بوتیلن ترفتالات است[۲۱]. ملاحظه می‌شود که شدت این پیک در نانوکامپوزیت پلی بوتیلن ترفتالات/ نانورس Cloisite 30B کاهش یافته است. کاهش چشمگیر در شدت این پیک بیانگر برقراری برهم‌کنش بین گروه‌های هیدروکسیل موجود در 30B و گروه‌های هیدروکسیل موجود در پلی بوتیلن ترفتالات است.



شکل ۶. نمودار ATR-FTIR برای (الف) پلی بوتیلن ترفتالات و (ب) نانوکامپوزیت پلی بوتیلن ترفتالات حاوی phr ۵ نانورس Cloisite 30B در عدد موجی بین 3300 cm^{-1} تا 3500 cm^{-1} .

۳.۳ طیف‌سنجی فروسرخ (ATR-FTIR)

در بخش آنالیز پراش پرتو ایکس پی بردیم که نانوذراترس Cloisite 30B گرایش چندانی به تشکیل ساختار میان لایه‌ای شده و برقراری برهم‌کنش با فاز پلی‌پروپیلن ندارد و با فاز پلی بوتیلن ترفتالات وارد واکنش می‌شوند (شکل ۲). به منظور بررسی برهم‌کنش‌ها در نانوکامپوزیت پلی بوتیلن ترفتالات/ نانورس از طیف‌سنجی فروسرخ مجهز به ATR استفاده شده است. در شکل (۵) نتایج این آزمون برای پلی بوتیلن ترفتالات و نانوکامپوزیت پلی بوتیلن ترفتالات/ نانورس 30B را مشاهده می‌کنید.



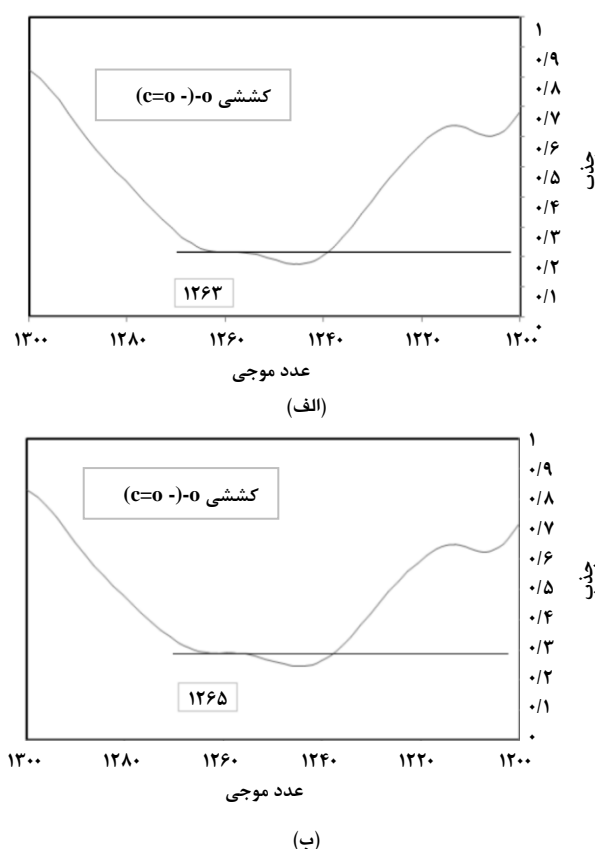
شکل ۵. نتایج ایجاد ATR-FTIR برای پلی بوتیلن ترفتالات (خطوط مشکی) و نانوکامپوزیت پلی بوتیلن ترفتالات حاوی (خط‌چین طوسی). ۵ نانورس Cloisite 30B phr

در شکل (۵)، پیک واقع شده در عدد موجی 3417 cm^{-1} مربوط به گروه هیدروکسیل (-OH) کششی در پلی بوتیلن ترفتالات است[۲۱]. همچنین، واقع شدن پیک در عدد موجی 1100 cm^{-1} و 1263 cm^{-1} ، به ترتیب، مربوط به گروه‌های $\text{CH}_2\text{-O}$ و $\text{C=O}-\text{O}$ کششی است[۲۱ و ۲۲]. واقع شدن پیک در ناحیه عدد موجی 1705 cm^{-1} نیز مربوط به گروه C=O کششی است[۲۳]. پیک در عدد موجی 773 cm^{-1} و 722 cm^{-1} نیز به گروه‌های C-H اروماتیک خمی خارج صفحه^۱ و اروماتیک خمی مرتبط است[۲۱ و ۲۲]. از آنجا که اختلاف بین نمودارهای پلی بوتیلن ترفتالات و پلی بوتیلن ترفتالات حاوی ۵ phr نانورس در شکل (۵) به وضوح مشخص نیست، و نیز به منظور بررسی دقیق‌تر برقراری برهم‌کنش‌ها

1. Stretching
2. Out of Plane Bending

بررسی برهمکنش‌های بین نانوذرات رس و آمیزه پلی بوتیلن ترفتالات...

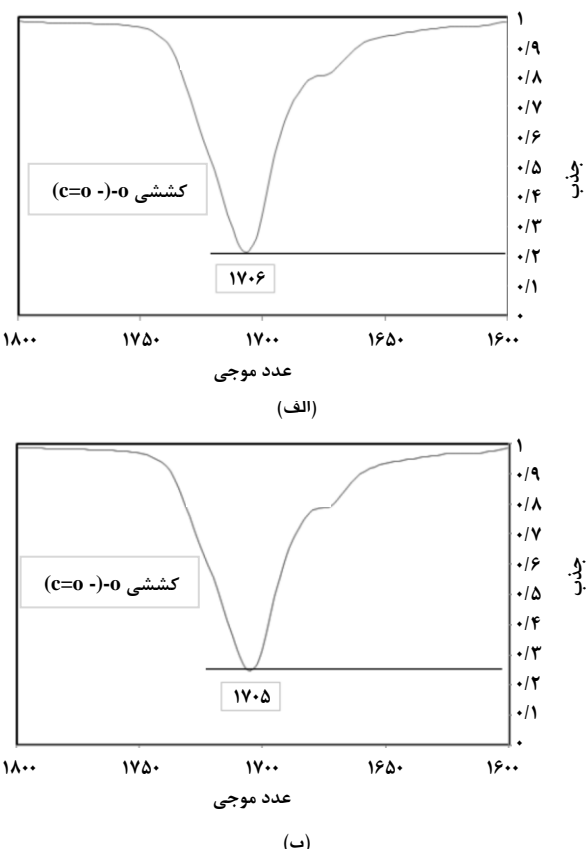
پلی بوتیلن ترفتالات/نانورس Cloisite 30B در عدد موجی بین $1200\text{--}1300\text{ cm}^{-1}$ را مشاهده می‌کنید. واقع شدن پیک پهن در عدد موجی 1263 cm^{-1} بیانگر پیوند C=O-(O-) است. کششی این می‌بینیم که شدت این پیک در نانوکامپوزیت حاصل، کاهش یافته و مکان آن نیز دستخوش تغییر شده است. این موضوع نیز حاکی از برقرار شدن برهمکنش بین گروههای هیدروکسیل نانورس Cloisite 30B و گروههای کربوکسیل پلی بوتیلن ترفتالات است.



شکل ۸. نمودار ATR-FTIR برای (الف) پلی بوتیلن ترفتالات و (ب) نانوکامپوزیت پلی بوتیلن ترفتالات/نانورس Cloisite 30B در عدد موجی بین $1200\text{--}1300\text{ cm}^{-1}$ در $1400\text{--}1600\text{ cm}^{-1}$.

در شکل ((۹)-الف و ب) منحنی طیف‌سنجی فروسرخ برای پلی بوتیلن ترفتالات و نانوکامپوزیت پلی بوتیلن ترفتالات/نانورس Cloisite 30B در عدد موجی بین $650\text{--}800\text{ cm}^{-1}$ را مشاهده می‌کنید. وجود پیک تیز در عدد موجی 723 cm^{-1} بیانگر پیوند C-H آروماتیک خارج از صفحه است [۲۱ و ۲۲]. مشاهده می‌شود که شدت این پیک نیز در

در شکل ((۷)-الف و ب) نمودار طیف‌سنجی فروسرخ برای پلی بوتیلن ترفتالات و نانوکامپوزیت پلی بوتیلن ترفتالات/نانورس Cloisite 30B در عدد موجی بین $1600\text{--}1800\text{ cm}^{-1}$ را مشاهده می‌کنید.



شکل ۷. نمودار ATR-FTIR برای (الف) پلی بوتیلن ترفتالات و (ب) نانوکامپوزیت پلی بوتیلن ترفتالات/نانورس Cloisite 30B در عدد موجی بین $1600\text{--}1800\text{ cm}^{-1}$ در 1706 cm^{-1} .

پیک واقع شده در عدد موجی 1706 cm^{-1} مربوط به پیوند C=O کششی در گروه کربوکسیل پلی بوتیلن ترفتالات مربوط است. همان‌گونه که ملاحظه می‌شود، شدت این پیک در نانوکامپوزیت پلی بوتیلن ترفتالات/Cloisite 30B کاهش و مکان آن تغییر جزئی یافته است. این موضوع نیز می‌تواند به برهمکنش بین گروههای هیدروکسیل نانورس Cloisite 30B و گروههای کربوکسیل پلی بوتیلن ترفتالات مرتبط باشد.

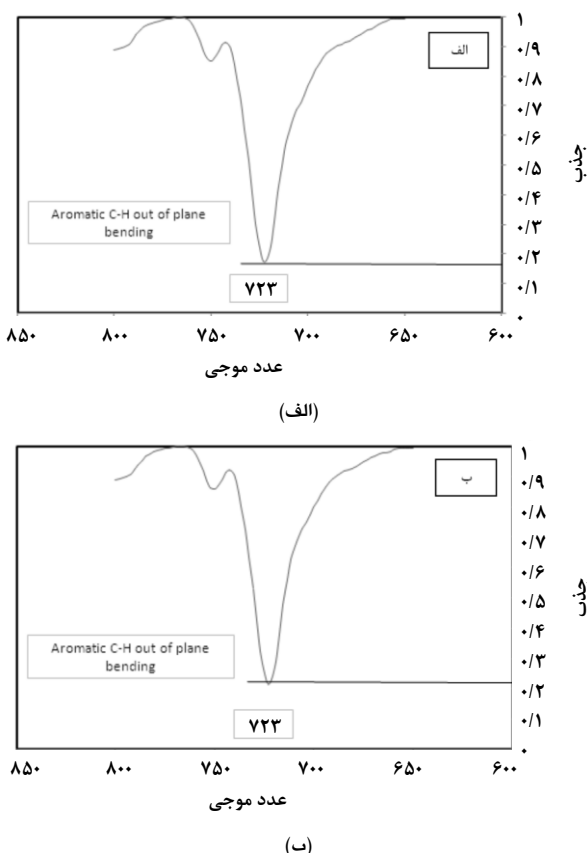
در شکل ((۸)-الف و ب) نمودار طیف‌سنجی فروسرخ برای پلی بوتیلن ترفتالات و نانوکامپوزیت

نانوکامپوزیت پلی بوتیلن ترفتالات / نانورس Cloisite 30B در آمیزه پلی بوتیلن ترفتالات / پلی پروپیلن بود. مطالعات رئولوژیکی نشان دادند که با افزایش غلظت نانوذرات رس، گرانزوی آمیزه یادشده افزایش می‌یابد. همچنین، مدل‌سازی نتایج تجربی گرانزوی با مدل دیگری، حاکی از برقراری شبکه فیزیکی نانوذرات و تنفس تسليم در نانوکامپوزیت‌های شامل ۳ و ۵ phr نانوذرات رس به تنفس رس اشاره نمود. طیف‌سنجی فروسرخ مشخص کرد که کاهش شدت نانورس بود. طیف‌سنجی فروسرخ مشخص کرد که گروه هیدروکسیل (پیک در عدد موجی 3417 cm^{-1} (پیک مربوط به گروه هیدروکسیل) در نانوکامپوزیت پلی بوتیلن ترفتالات / نانورس، احتمالاً حاکی از برقراری برهم‌کنش بین نانوذرات رس و گروه هیدروکسیل پلی بوتیلن ترفتالات است.

مراجع

- [1] Carmen, I. W., Calcagno, C., Mariani, M., Teixeira, S. R., Mauler, R. S., "Morphology and Crystallization Behavior of the PP/PET Nanocomposites", *J. Appl. Polym. Sci.*, 111, 29-36, (2009).
- [2] Wu, D., Zhou, C., Fan, X., Mao, D., Zhang, B., "Nonisothermal Crystallization Kinetics of Poly(butylene terephthalate)/ Montmorillonite Nanocomposites", *J. Appl. Polym. Sci.*, 99, 3257-3265, (2006).
- [3] Wu, D., Zhou, C., Hong, Z., Mao, D., Zhang, B., "Study on rheological behaviour of poly(butylene terephthalate)/montmorillonite nanocomposites", *Eur. Polym. J.*, 41, 2199-2207, (2005).
- [4] Papadopoulou, C. P., Kalfoglou, N. K., "Comparison of compatibilizer effectiveness for PET/PP blends: their mechanical, thermal and morphology characterization", *Polymer*, 41, 2543-2555, (2000).
- [5] Wu, Z., Zhou, C. X., Qi, R. R., Zhang, H. B., "Synthesis and characterization of nylon1012/clay nanocomposite", *J. Appl. Polym. Sci.*, 83, 2403-2410, (2002).
- [6] Wu, D., Zhou, C., Xie, F., Mao, D., Zhang, B., "Morphology, crystalline structure and isothermal crystallization kinetics of polybutylene terephthalate/montmorillonite nanocomposites", *Polym. Polym. Compos.*, 13, 61-71, (2005).
- [7] Wu, D., Zhou, C., Zhang, M., "Effect of Clay on Immiscible Morphology of Poly(butylene terephthalate)/Polyethylene Blend Nanocomposites", *J. Appl. Polym. Sci.*, 102, 3628-3633, (2006).
- [8] Li, Y. J., Shimizu, H., "Novel morphologies of poly(phenylene oxide) (PPO)/polyamide 6 (PA6) blend nanocomposites", *Polymer*, 45, 7381-7388, (2004).
- [9] Mehrabzadeh, M., Kamal, M. R., "Melt processing of PA-66/Clay, HDPE/Clay and HDPE/PA-66/Clay nanocomposites", *Polym. Eng. Sci.*, 44, 1152-1161, (2004).

نانوکامپوزیت پلی بوتیلن ترفتالات / نانورس Cloisite 30B نسبت به پلی بوتیلن ترفتالات کاهش یافته است. این امر نیز می‌تواند موید وجود برهم‌کنش بین نانوذرات رس Cloisite 30B و پلی بوتیلن ترفتالات باشد. البته طیف‌سنجی فروسرخ به تنها نمی‌تواند برقراری این برهم‌کنش‌های را تصدیق کند، اما در کنار مدل‌سازی‌های رئولوژیکی و منحنی‌های آنالیز پراش پرتو ایکس نتیجه قابل قبولی به دست می‌آید.



شکل ۹. نمودار ATR-FTIR برای (الف) پلی بوتیلن ترفتالات و (ب) نانوکامپوزیت پلی بوتیلن ترفتالات / نانورس Cloisite 30B در عدد موجی بین 800 cm^{-1} تا 650 cm^{-1} .

۴. نتیجه‌گیری کلی

در این پژوهش برقراری برهم‌کنش، بین نانوذرات رس و آمیزه پلی بوتیلن ترفتالات / پلی پروپیلن از طریق آنالیز پراش پرتو ایکس، آزمون‌های رئولوژیکی و طیف‌سنجی فروسرخ مورد مطالعه قرار گرفت. نتایج آنالیز پراش پرتو ایکس حاکی از ایجاد ساختارهای میان لایه‌ای شده و جزئی ورقه‌ای شده از طریق نانوذرات رس

- [10] Lee, K. Y., Goettler, L. A., "Structure-property relationships in polymer blend nanocomposites", *Polym. Eng. Sci.*, 44, 1103-1111, (2004).
- [11] Li, X., Kang, T., Cho, W. J., Lee, J. K., Ha, C. S., "Preparation and Characterization of Poly (butyleneterephthalate)/Organoclay Nanocomposites", *Macromol. Rapid Commun.*, 22, 1306-1312, (2001).
- [12] Gilman, J. W., Jakson, C. L., Morgan, A. B., Harris, R., "Flammability properties polymer-layered-silicate nanocomposites. Polypropylene and Polystyrene nanocomposites", *Chem. Mater.*, 12, 1866-1873, (2000).
- [13] Hotta, S., Paul, D. R., "Nanocomposites formed from linear low density polyethylene and organoclays", *Polymer*, 45, 7639-7654, (2004).
- [14] Manias, E., Touni, A., Wu, L., Strawhecker, K., Lu, B., Chung, T. C., "Polypropylene/Montmorillonite nanocomposites. Review of the synthetic routes and materials properties", *Chem. Mater.*, 13, 3516-3523, (2001).
- [15] Strawhecker, K., Manias, E., "Structure and properties of poly (vinyl alcohol)/Na⁺-Montmorillonite nanocomposites", *Chem. Mater.*, 12, 2943-2949, (2000).
- [16] Nazockdast, E., Nazockdast, H., Goharpey, F., "Linear and Nonlinear Melt-State Viscoelastic Properties of Polypropylene/Organoclay Nanocomposites", *Polym. Eng. Sci.*, 48, 1240-1249, (2008).
- [17] Entezam, M., Khonakdar, H. A., Yousefi, A. A., Jafari, H., Wagenknecht, U., Heinrich, G., "Dynamic and Transient Shear Start-Up Flow Experiments for Analyzing Nanoclay Localization in PP/PET Blends: Correlation with Microstructure", *Macromol. Mater. Eng.*, 298, 113-126, (2013).
- [18] Entezam, M., Khonakdar, H. A., Yousefi, "Nanoclay Localization Effect on Melt Rheological Behavior and Microstructure of PP/PET Blend", *JIPST*, 26, 57-72, (2013).
- [19] Xue, M. L., Li, P., "Phase Morphology and Clay Distribution of Poly (trimethylene terephthalate)/Polypropylene/ Montmorillonite Nanocomposites", *J. Appl. Polym. Sci.*, 113, 3883-3890, (2009).
- [20] De Kee, D., Turcotte, G., "Viscosity of biomaterials", *Chem. Eng. Commun.*, 6, 273-282, (1980).
- [21] Katty, D. R., Katty, K. S., Raviprasad, M., Gu, Ch., "Role of polymer interactions with clay and modifiers on nanomechanical properties and crystallinity in polymer clay nanocomposites", *J. Nano. Mat.*, 2012, 1-15, (2012).
- [22] Balabanovich, A. I., Zevaco, T. A., Schnabel, W., "Fire retardance in poly (butylene terephthalate). The effect of red phosphorus and radiation-induced cross-links", *Macromol. Mater. Eng.*, 289, 181-190, (2004).
- [23] Tomar, N., Maiti, S. N., "Thermal and crystallization properties of PBT/ABAS blend", *J. Appl. Polym. Sci.*, 113, 1657-1663, (2009).